

TD FRACTIONNEMENT CELLULAIRE

Figure 1

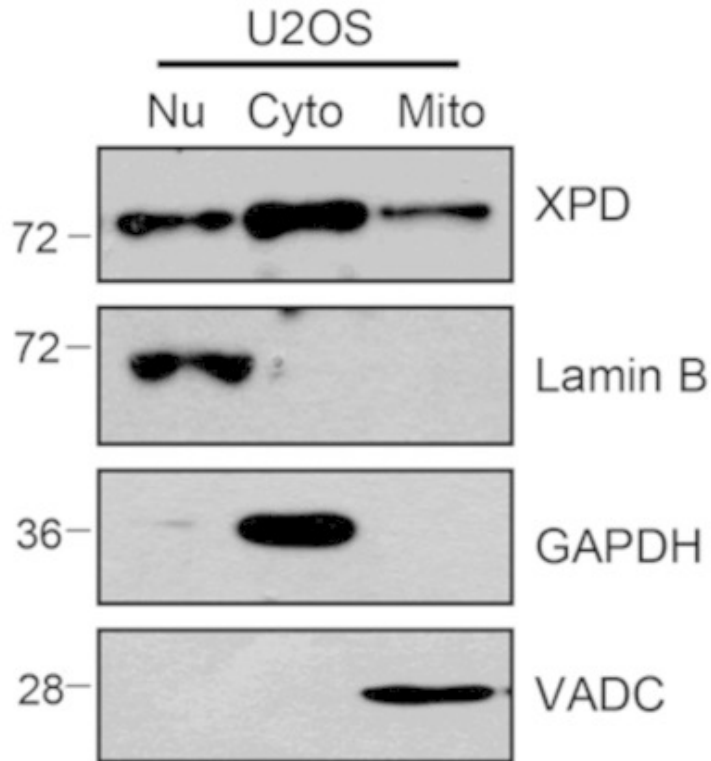


Figure 1 : Analyse par western blot de la protéine appelée XPD après extraction des fractions nucléaire (Nu), cytoplasmique (Cyto) et mitochondriale (Mito) dans une lignée cellulaire épithéliale humaine d'ostéosarcome appelée U2OS. Les protéines appelées VADC, Lamin B et GAPDH sont respectivement présentes dans la membrane mitochondriale, dans le noyau et dans le cytoplasme.

TD FRACTIONNEMENT CELLULAIRE

Figure 2

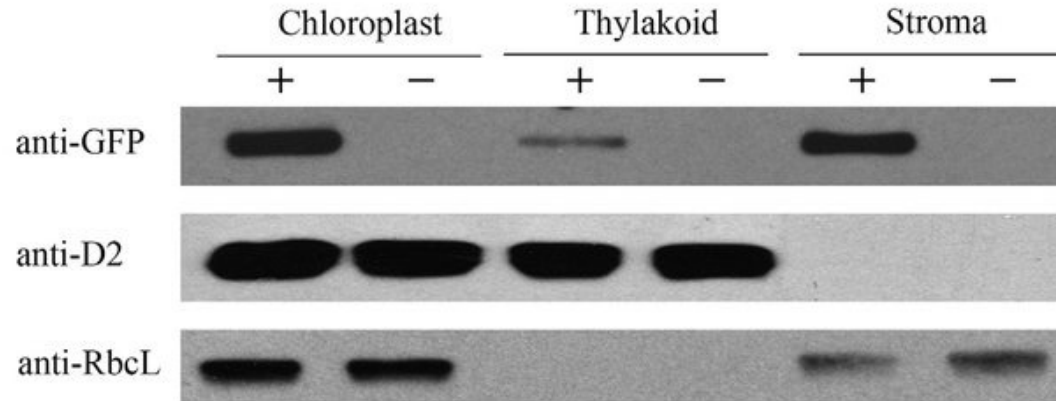


Figure 2 : Analyse par western blot de la protéine OspTAC2 couplée à la protéine GFP dans les fractions des thylakoïdes et du stroma issues de la fraction contenant les chloroplastes. La protéine D2 s'exprime uniquement dans les thylakoïdes et la protéine RbcL s'exprime uniquement dans le stroma.

TD FRACTIONNEMENT CELLULAIRE

Figure 3

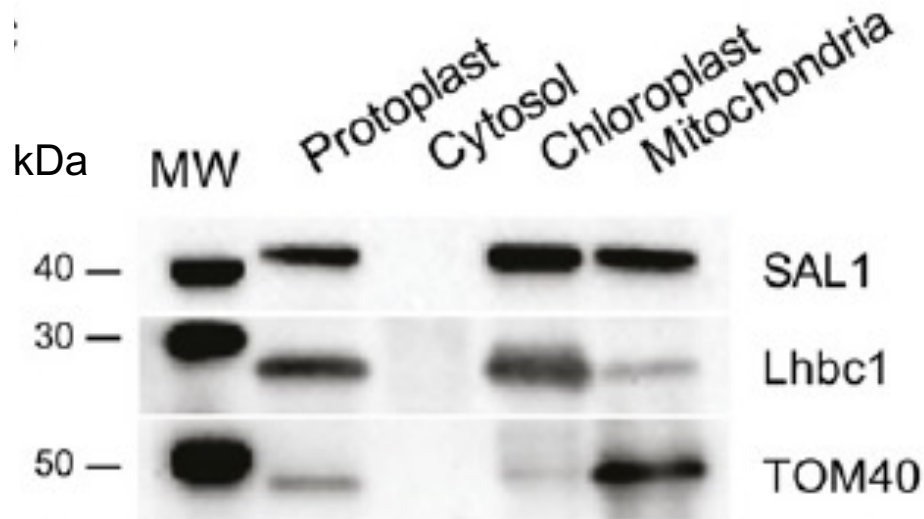


Figure 3 : Analyse par western blot des protéines appelées SAL1, Lhbc1 and TOM40 dans les différentes fractions obtenues après extraction du protoplaste, du cytosol, du chloroplaste et des mitochondries.

TD FRACTIONNEMENT CELLULAIRE

Figure 4

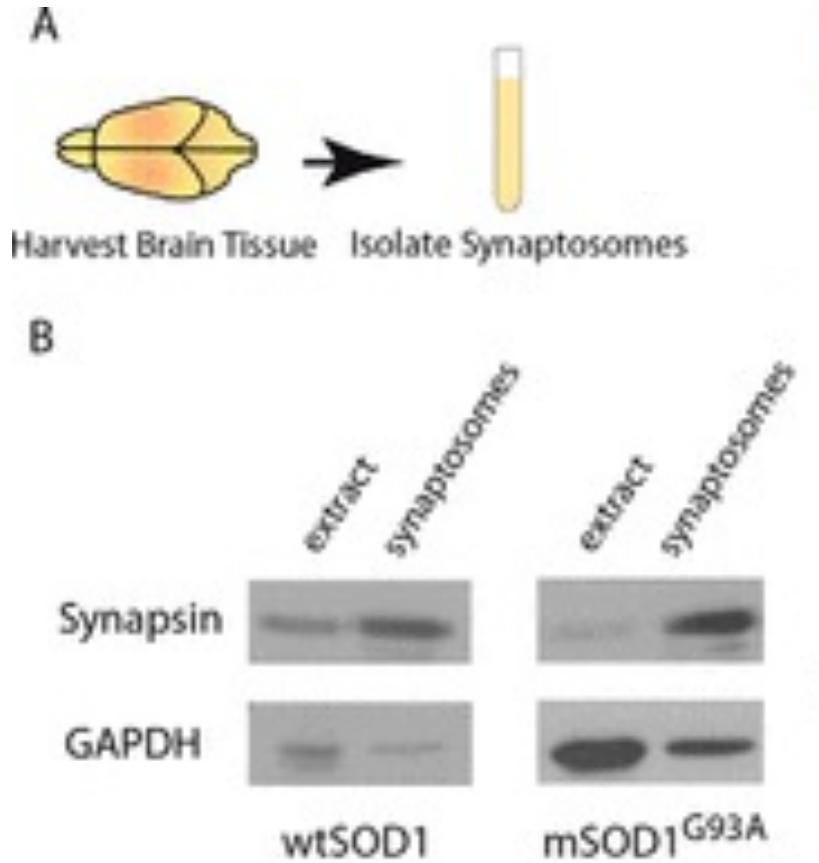


Figure 4 : extraction de synaptosomes à partir de tissu du cerveau (A) Schéma représentatif de l'expérience réalisée. **(B)** La présence de synapsin, protéine s'exprimant dans les synaptosomes a été analysée par western blot dans les extraits protéiques issus du tissu de cerveau (extract) et dans les synaptosomes isolés de cellules de souris sauvages (wtSOD1) et mutées (mSOD1^{G93A}). La GAPDH est une protéine cytoplasmique.

TD FRACTIONNEMENT CELLULAIRE

Figure 5

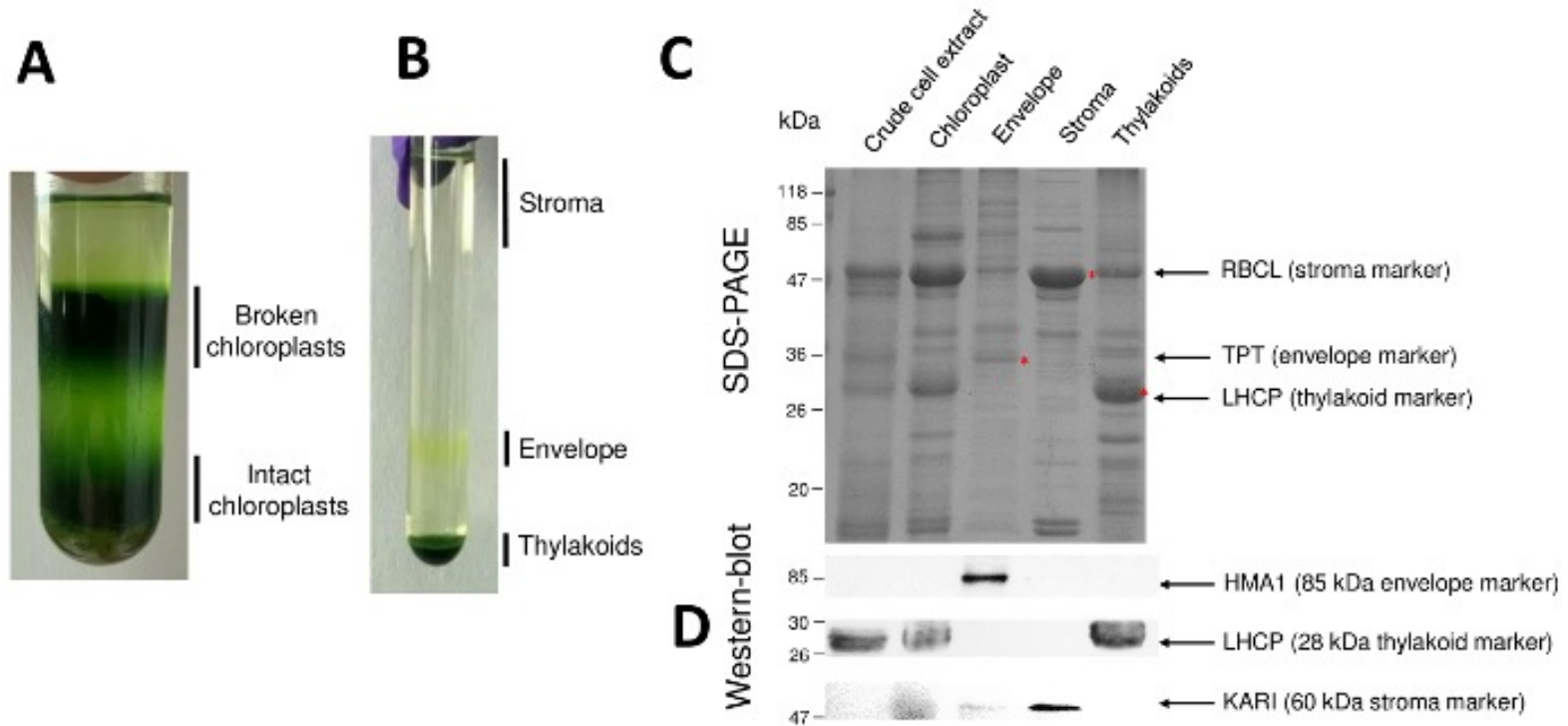


Figure 5 : Purification de chloroplastes intacts et de leurs 3 principaux compartiments à l'aide de gradient de Percoll et de sucrose. (A) Le gradient de Percoll a permis la séparation des chloroplastes intacts de ceux cassés. **(B)** Après lyse des chloroplastes intacts, un gradient de sucrose discontinu est réalisé et a permis la séparation des fractions contenant le stroma, l'enveloppe et les thylakoïdes. **(C)** Analyse par SDS PAGE des extraits protéiques (10 µg) issus des différentes fractions obtenues après gradient. Pour chaque compartiment, un marqueur abondant est détecté. Le poids moléculaire est indiqué en kDa. **(D)** Détection de marqueur de l'enveloppe (HMA1), de marqueur des thylakoïdes (LHCP) et de marqueur du stroma (KARI) par western blot dans chacune des différentes extractions obtenues.

TD FRACTIONNEMENT CELLULAIRE

Figure 6

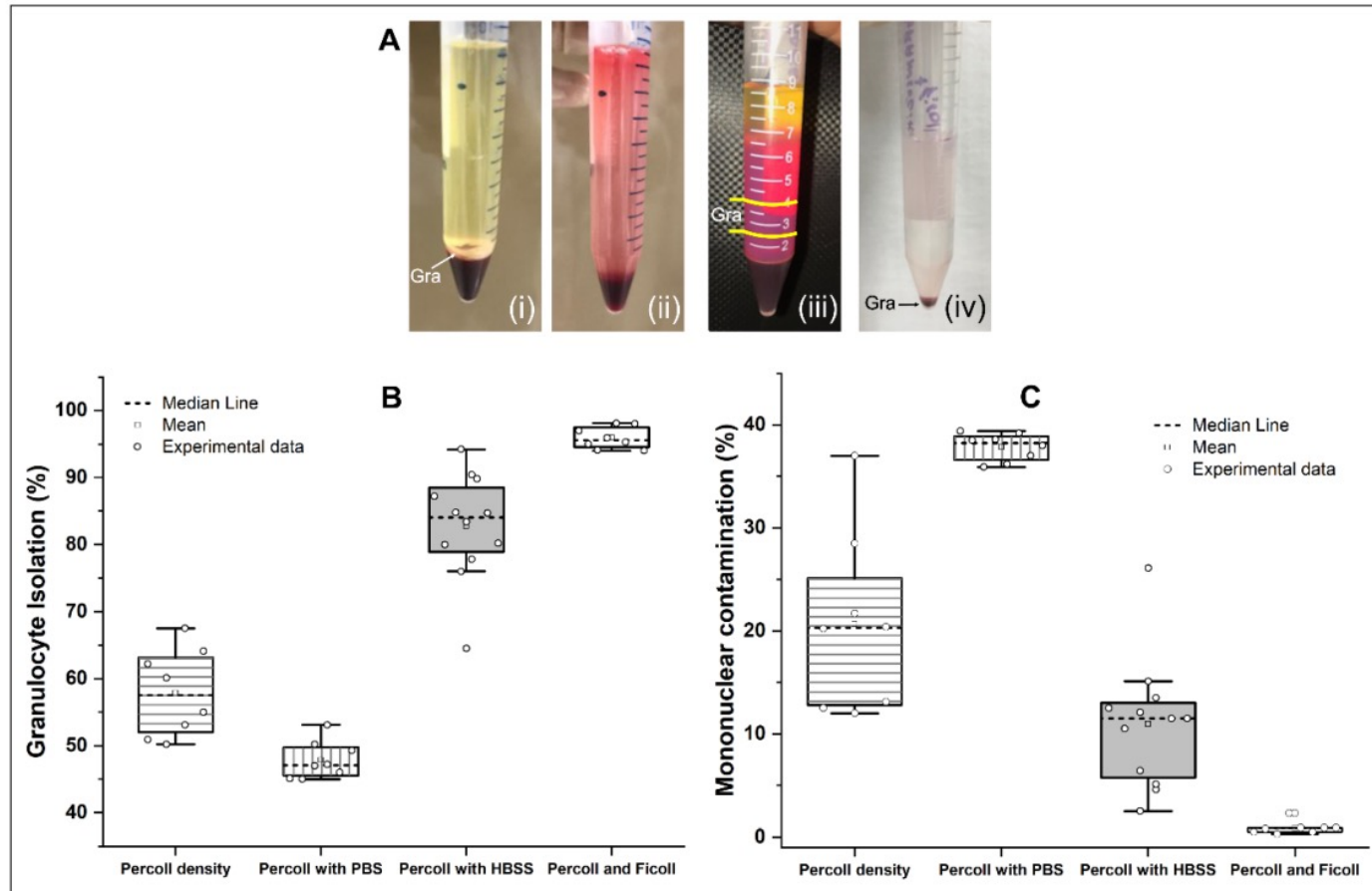


Figure 6. Analyse de l'efficacité de purification de granulocytes (Gra) de 4 différentes méthodes d'extraction. (A) Images obtenues à la fin de chaque méthode d'extraction basée sur du Percoll : (i) après différents gradients, (ii) avec une solution de phosphate (PBS), (iii) avec une solution de Hank's, (iv) combinée avec un gradient de Ficoll. (B) boîte à moustaches représentant la purification de granulocytes entre les différentes méthodes utilisées. (C) boîte à moustaches représentant le % de contamination durant l'isolation de granulocytes entre les différentes méthodes utilisées.

TD FRACTIONNEMENT CELLULAIRE

Figure 7

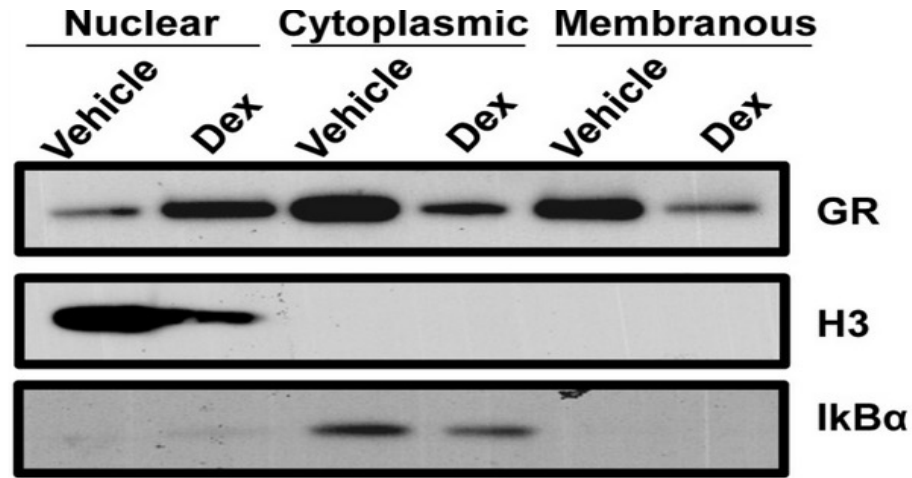


Figure 7 : Impact de la dexaméthasone DEX (DEX = corticoïde synthétique) sur la distribution cellulaire du récepteur de l'hormone glucocorticostéroïde GR (GR = Glucocorticosteroid Receptor).

Analyse par western blot de la protéine GR, de l'histone H3 (H3) et de la protéine IκBα (un inhibiteur du facteur de transcription NF-κB) après extraction des fractions nucléaires, cytoplasmiques et de la membrane cytoplasmique. VEH est un excipient utilisé pour administrer des médicaments.

TD FRACTIONNEMENT CELLULAIRE

Figure 8

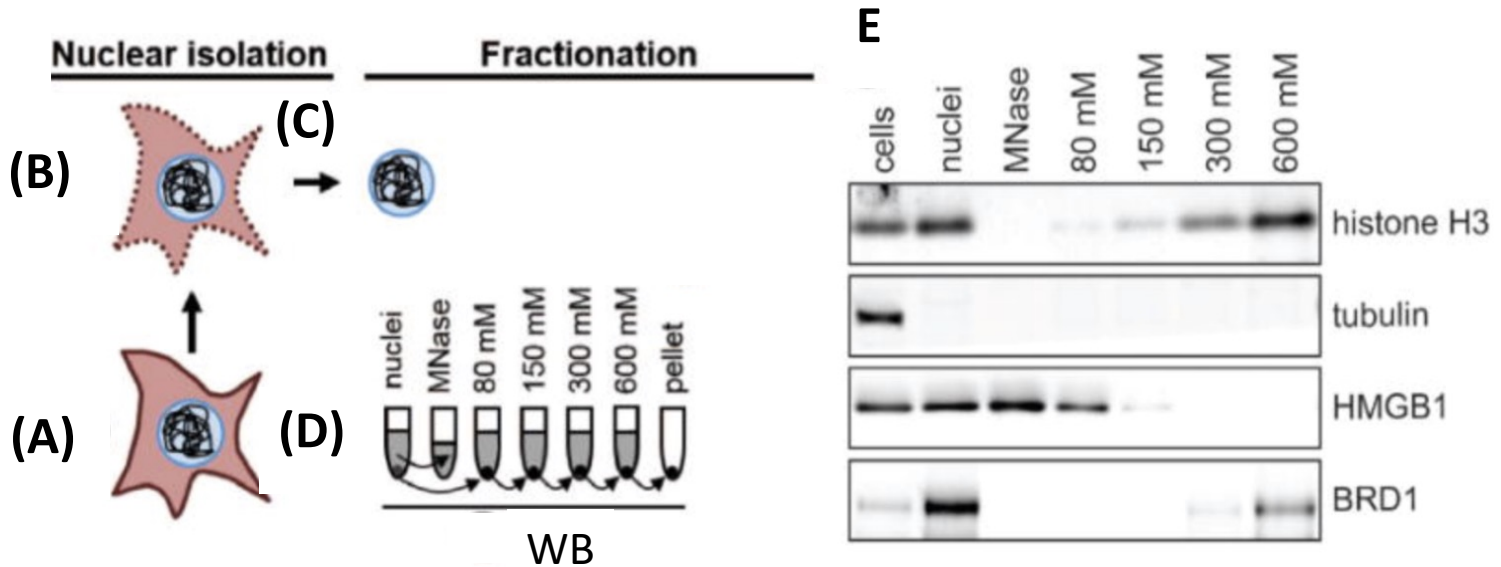


Figure 8 : Protocole de fractionnement nucléaire.

(A) 4×10^7 cellules sont utilisées par condition. (B) Les membranes plasmiques sont perméabilisées et (C) les noyaux sont isolés par centrifugation. (D) Les noyaux sont ensuite lavés dans des tampons de concentration en sel croissante. (E) La qualité du fractionnement est testée par Western blot (WB). Les surnageants de couleur grise (et le culot dans le cas des noyaux) représentent les échantillons utilisés pour l'analyse par Western blot (WB). La protéine High-mobility group box 1 (HMGB1) est constitutive de la chromatine et joue un rôle dans l'inflammation. La protéine Bromodomain containing protein1 (BRD1) se lie aux histones acétylées. La tubuline est une protéine constitutive des microtubules.